

# Sincronização do Sistema Caótico Unificado via Controle Ótimo Linear *Feedback* e Aplicação em Comunicação Segura

J.M.V. GRZYBOWSKI<sup>1</sup> M. RAFIKOV<sup>2</sup> Departamento de Física, Estatística e Matemática, DeFEM, UNIJUI, Cx.P. 560, 98700-000 Ijuí, RS, Brasil.

**Resumo.** O presente artigo estuda a sincronização do sistema caótico unificado via controle ótimo linear feedback e apresenta um esquema de comunicação segura baseado em sincronização de caos.

**Palavras-chave.** Sincronização, controle ótimo, caos, comunicação segura.

## 1. Introdução

A sincronização de caos aplicada à comunicação tem sido objeto de intenso estudo. A idéia de utilizar a sincronização de caos para transportar informações justifica-se por duas razões principais. Por um lado, porque sistemas caóticos possuem várias características desejáveis do ponto de vista criptográfico: ergodicidade, sensibilidade às condições iniciais, complexidade e dinâmica determinística. Isso significa que, além de transportar informações (como sinais periódicos fazem), o sinal caótico é potencialmente um método de criptografar. Por outro lado porque sistemas de comunicação sem fio baseiam-se em sincronização, e isso significa que há um grande campo para sua aplicação. Diversos trabalhos foram dedicados à proposta e análise de sistemas criptográficos baseados em sincronização de caos. Dentre os principais problemas encontrados nesses enfoques estão o nível insuficiente de segurança ([1], [2]) e o excessivo tempo necessário para sincronização ([4], [6]), o que os torna desinteressantes do ponto de vista prático. Lü et al. propuseram em [6] um sistema criptográfico particularmente interessante, baseado num sistema caótico que faz uma ponte entre o sistema de Lorenz e o sistema de Chen através da inclusão de um parâmetro  $0 \leq \alpha \leq 1$ , que foi utilizado como chave no sistema. Conforme mostrado em [6], através da construção de uma função de Lyapunov apropriada, é possível sincronizar os sistemas caóticos unificados através de acoplamento para  $0 \leq \alpha \leq 1/29$ . Logo, o espaço da chave fica restrito a esse subintervalo para o qual os sistemas podem ser sincronizados por acoplamento. Nesse contexto, propusemos em [3] a utilização do controle ótimo linear feedback, conforme metodologia proposta em [7], para sincronizar dois sistemas caóticos unificados para todo o intervalo

---

<sup>1</sup>zzmariovic@yahoo.com.br

<sup>2</sup>marat9119@yahoo.com.br

$0 \leq \alpha \leq 1$ . Isso significa que é possível aumentar consideravelmente o espaço da chave e, como consequência, o nível de segurança do sistema.

O presente trabalho tem dois objetivos principais: em primeiro lugar estudar a sincronização do sistema caótico unificado aplicando o controle ótimo linear feedback em forma escalar (controlando apenas uma das equações do sistema) e a seguir em forma vetorial (controlando todas as equações); em segundo lugar, propor um sistema de encriptação baseado na sincronização de caos. Com base nos resultados obtidos em [3] e utilizando algumas idéias do sistema de encriptação caótica apresentado em [8], propomos um esquema de encriptação baseado no sistema caótico unificado apresentado em [6]. Na seção 2 é apresentada a metodologia de projeto do controle ótimo linear feedback para sistemas não-lineares. Na seção 3, apresentamos o sistema caótico unificado e simulações de sincronização do sistema através de controle escalar e vetorial. Na seção 4 apresentamos o esquema de encriptação baseado na sincronização de caos e resultados de simulações numéricas. A seção 5 apresenta conclusões.

## 2. Sincronização de Sistemas Não-lineares via Controle Ótimo Linear *Feedback*

Considere os sistemas mestre e escravo na forma

$$\dot{x} = Ax + g(x) \quad (2.1)$$

$$\dot{y} = Ay + g(y) + Bu \quad (2.2)$$

sujeitos a

$$x(0) = \tilde{x}_0 \quad (2.3)$$

$$y(0) = y_0 \quad (2.4)$$

onde  $x, y \in R^n$  são vetores de estado;  $A \in R^{n \times n}$  é a matriz dos termos lineares do sistema;  $g \in R^n$  é o vetor das funções não-lineares,  $B \in R^{n \times m}$  é uma matriz constante e  $u \in R^m$  é um vetor de controle que estabiliza o sistema escravo na órbita desejada. Assim, definindo o vetor erro como

$$e = y - x, \quad (2.5)$$

obtemos o sistema em desvios

$$\dot{e} = Ae + g(y) - g(x) + Bu = Ae + g(x + e) - g(x) + Bu. \quad (2.6)$$

Introduzindo

$$h(x, e) = g(x, e) - g(x), \quad (2.7)$$

obtemos

$$\dot{e} = Ae + h(x, e) + Bu. \quad (2.8)$$

**Teorema 2.1.** *Se existem matrizes  $Q$  e  $R$  definidas positivas, sendo  $Q$  simétrica, de forma que a função*

$$l(x, e) = e^T Q e - h^T(x, e) P e - e^T P h(x, e) \quad (2.9)$$

*é definida positiva, onde a matriz  $P$  é a solução da equação algébrica matricial de Ricatti*

$$P A + A^T P - P B R^{-1} B^T P + Q = 0, \quad (2.10)$$

*então o controle linear feedback*

$$u = -R^{-1} B^T P e \quad (2.11)$$

*é ótimo no sentido de transferir o sistema em desvios (2.8) de qualquer estado inicial ao estado final*

$$e(\infty) = 0 \quad (2.12)$$

*minimizando o funcional*

$$J = \int_0^{\infty} [l(x, e) + u^T R u] dt. \quad (2.13)$$

Se a condição suficiente  $l(x, e) \geq 0$ , para qualquer  $e \in R^n$  é satisfeita, então o sistema em desvios é globalmente assintoticamente estável e isso implica que o sistema mestre e o sistema escravo controlado estão sincronizados.

*Demonstração.* Considere o controle ótimo linear feedback (2.11) que transfere o sistema não-linear (2.8) de qualquer estado inicial para o estado final (2.12) minimizando o funcional (2.13), onde a função  $l(x, e)$  precisa ser determinada. De acordo com as regras da Programação Dinâmica, se o mínimo do funcional (2.13) existe, e se  $V$  é uma função suave das condições iniciais, então ela satisfaz a equação de Hamilton-Jacobi-Bellman

$$\min_u \left( \frac{dV}{dt} + e^T l(x, e) e + u^T R u \right) = 0. \quad (2.14)$$

Considerando uma função de Lyapunov na forma

$$V = e^T P e, \quad (2.15)$$

onde  $P$  é uma matriz simétrica definida positiva e satisfaz a equação algébrica matricial de Ricatti (2.10), a derivada da função  $V$ , avaliada na trajetória ótima com controle (2.11) é

$$\dot{V} = \dot{e}^T P e + e^T P \dot{e}. \quad (2.16)$$

Levando (2.8) em (2.16), obtemos

$$\dot{V} = e^T A^T P e + h^T(x, e) P e + e^T P A e + e^T P h(x, e) - e^T P B (R^{-1})^T B^T P e. \quad (2.17)$$

Substituindo  $\dot{V}$  na equação de Hamilton-Jacobi-Bellman (2.14), obtemos

$$l(x, e) = e^T Q e - h^T(x, e) P e - e^T P h(x, e). \quad (2.18)$$

Observe que para uma função definida positiva  $l(x, e)$  e uma matriz definida positiva  $R$ , a derivada da função (2.15), avaliada na trajetória ótima do sistema (2.8), é dada por

$$\dot{V} = -l(x, e) - u^T R u \quad (2.19)$$

e é definida negativa. Então a função (2.15) é uma função de Lyapunov e, de acordo com a teoria da estabilidade de Lyapunov, podemos concluir que o sistema em desvios (2.8) é globalmente assintoticamente estável se é satisfeita a condição suficiente  $l(x, e) \geq 0$  para qualquer  $e \in R^n$ . Portanto, o sistema mestre e o sistema escravo controlado estão globalmente sincronizados.

De acordo com a teoria do controle ótimo de sistemas lineares com funcional quadrático, a solução da equação algébrica matricial de Ricatti (2.10) é uma matriz simétrica e definida positiva  $P > 0$  para  $Q > 0$  e  $R > 0$  dados. Assim, a prova do teorema está completa.  $\square$

### 3. Sincronização do Sistema Caótico Unificado

#### 3.1. O sistema caótico unificado

Lü et al. [6] propuseram um sistema caótico que unifica os sistemas de Lorenz e de Chen através da inclusão de um parâmetro  $0 \leq \alpha \leq 1$ . Para  $\alpha = 0$ , o sistema unificado se torna o sistema de Lorenz; para  $\alpha = 1$ , o sistema de Chen; e para  $\alpha = 0,8$  surge um terceiro sistema, cujo atrator é topologicamente não-equivalente aos outros dois, chamado sistema de Lü. Para todo o intervalo de valores  $0 \leq \alpha \leq 1$  o sistema apresenta comportamento caótico.

$$\begin{aligned} \dot{x}_1 &= (25\alpha + 10)(x_2 - x_1) \\ \dot{x}_2 &= (28 - 35\alpha)x_1 + (29\alpha - 1)x_2 - x_1x_3 \\ \dot{x}_3 &= x_1x_2 - \left(\frac{\alpha + 8}{3}\right)x_3. \end{aligned} \quad (3.1)$$

As equações do sistema caótico podem ser escritas na forma matricial como

$$\begin{pmatrix} \dot{x}_1 \\ \dot{x}_2 \\ \dot{x}_3 \end{pmatrix} = \begin{pmatrix} -25\alpha - 10 & 25\alpha + 10 & 0 \\ 28 - 35\alpha & 29\alpha - 1 & 0 \\ 0 & 0 & \frac{-\alpha - 8}{3} \end{pmatrix} \begin{pmatrix} x_1 \\ x_2 \\ x_3 \end{pmatrix} + \begin{pmatrix} 0 \\ -x_1x_3 \\ x_1x_2 \end{pmatrix}. \quad (3.2)$$

As figuras 1, 2 e 3 a seguir mostram os atratores do sistema caótico unificado para  $\alpha = 0$  (atrator de Lorenz), para  $\alpha = 0,8$  (atrator de Lü) e para  $\alpha = 1$  (atrator de Chen).

As figuras 4 e 5 mostram o resultado de simulações numéricas da sincronização do sistema caótico unificado via controle ótimo linear feedback para  $\alpha = 0,8$ , primeiro usando controle escalar e em seguida controle vetorial.

Considerando o sistema mestre (3.2), o sistema escravo tem a forma

$$\begin{pmatrix} \dot{y}_1 \\ \dot{y}_2 \\ \dot{y}_3 \end{pmatrix} = \begin{pmatrix} -25\alpha - 10 & 25\alpha + 10 & 0 \\ 28 - 35\alpha & 29\alpha - 1 & 0 \\ 0 & 0 & \frac{-\alpha - 8}{3} \end{pmatrix} \begin{pmatrix} y_1 \\ y_2 \\ y_3 \end{pmatrix} + \begin{pmatrix} 0 \\ -y_1y_3 \\ y_1y_2 \end{pmatrix} + \begin{pmatrix} u_1 \\ u_2 \\ u_3 \end{pmatrix}. \quad (3.3)$$

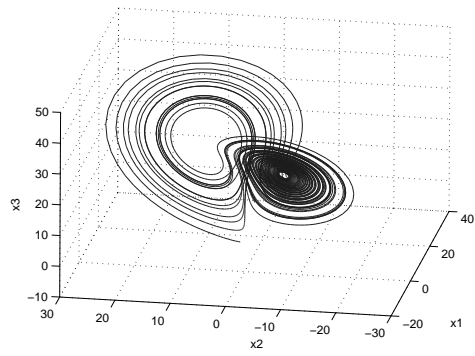


Figura 1: Atrator de Lorenz.

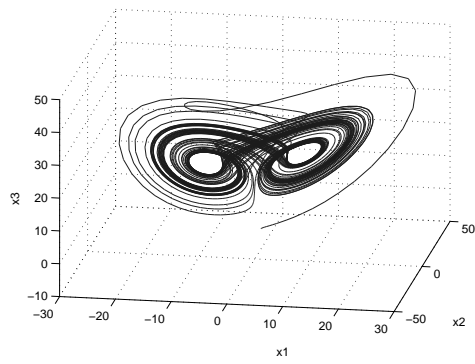


Figura 2: Atrator de Lü.

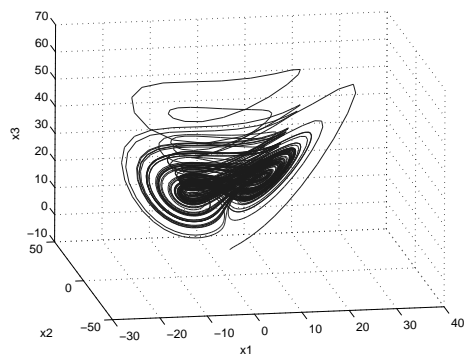


Figura 3: Atrator de Chen.

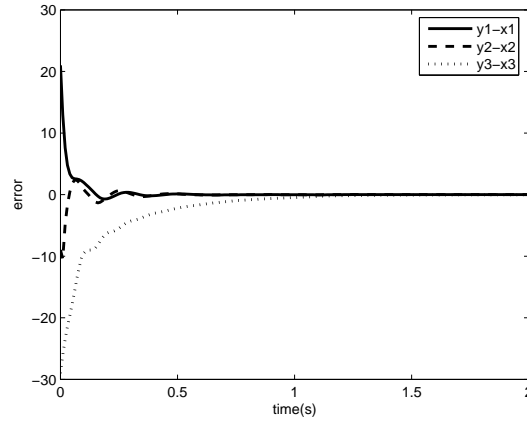


Figura 4: Erro de sincronização - controle escalar.

Para as simulações a seguir, utilizamos as condições iniciais  $x(0) = (-20 \ 10 \ 30)^T$  e  $y(0) = (1 \ 1 \ 1)^T$ .

### 3.2. Simulações numéricas

*Sincronização do sistema caótico unificado através de controle escalar*

De (3.2) obtemos

$$A = \begin{pmatrix} -30 & 30 & 0 \\ 0 & 22,2 & 0 \\ 0 & 0 & -2,9333 \end{pmatrix}. \quad (3.4)$$

Escolhendo

$$Q = \begin{pmatrix} 8000 & 0 & 0 \\ 0 & 8000 & 0 \\ 0 & 0 & 8000 \end{pmatrix}; \quad B = \begin{pmatrix} 0 \\ 1 \\ 0 \end{pmatrix}; \quad R = 1 \quad (3.5)$$

e resolvendo a equação algébrica matricial de Riccati através da função LQR do software MATLAB®, obtemos o controle linear feedback em forma escalar

$$u_2 = - \begin{pmatrix} 27,664 & 122,960 & 0 \end{pmatrix} \begin{pmatrix} y_1 - x_1 \\ y_2 - x_2 \\ y_3 - x_3 \end{pmatrix}. \quad (3.6)$$

A figura 4 mostra que o erro se aproxima rapidamente de zero e, dessa forma, os sistemas estão sincronizados.

*Sincronização do sistema caótico unificado através de controle vetorial*

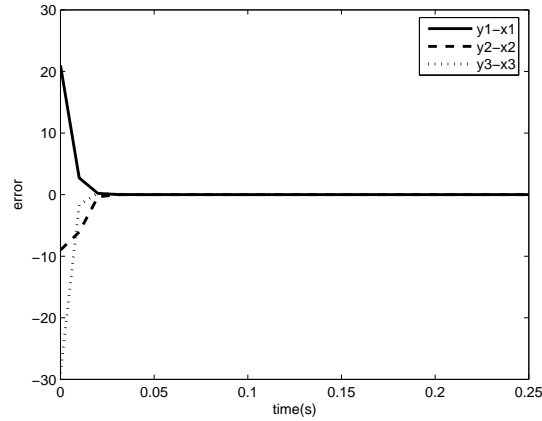


Figura 5: Erro de sincronização - controle vetorial.

Considerando-se (3.4) e escolhendo

$$Q = \begin{pmatrix} 8000 & 0 & 0 \\ 0 & 8000 & 0 \\ 0 & 0 & 8000 \end{pmatrix}; B = \begin{pmatrix} 1 & 0 & 0 \\ 0 & 1 & 0 \\ 0 & 0 & 1 \end{pmatrix}; R = \begin{pmatrix} 1 & 0 & 0 \\ 0 & 1 & 0 \\ 0 & 0 & 1 \end{pmatrix}. \quad (3.7)$$

Resolvendo a equação algébrica matricial de Riccati através da função LQR do software MATLAB®, obtemos o controle linear feedback em forma vetorial

$$\begin{pmatrix} u_1 \\ u_2 \\ u_3 \end{pmatrix} = - \begin{pmatrix} 63,793 & 10,144 & 0 \\ 10,144 & 117,061 & 0 \\ 0 & 0 & 86,558 \end{pmatrix} \begin{pmatrix} y_1 - x_1 \\ y_2 - x_2 \\ y_3 - x_3 \end{pmatrix}. \quad (3.8)$$

A figura 5 mostra o comportamento das variáveis de estado dos sistemas mestre e escravo. O erro se aproxima rapidamente de zero, e os sistemas estão sincronizados após decorrido 0,27 segundo.

## 4. Aplicação em Comunicação Segura

Nesta seção apresentamos uma aplicação da sincronização de sistemas caóticos em comunicação. O sistema caótico unificado é utilizado como base do esquema e o processo consiste em duas etapas distintas: a sincronização e a encriptação, transmissão e decriptação da mensagem.

As equações do sistema transmissor e receptor são mostradas a seguir:

$$\begin{aligned} \dot{x}_1 &= (25\alpha + 10)(x_2 - x_1) \\ \dot{x}_2 &= (28 - 35\alpha)x_1 + (29\alpha - 1)x_2 - x_1x_3 + Cm \\ \dot{x}_3 &= x_1x_2 - \left(\frac{\alpha + 8}{3}\right)x_3 \end{aligned} \quad (4.1)$$

$$\begin{aligned}
\dot{y}_1 &= (25\alpha + 10)(y_2 - y_1) + u_1 \\
\dot{y}_2 &= \dot{x}_2 + u_2 \\
\dot{y}_3 &= y_1 y_2 - \left(\frac{\alpha + 8}{3}\right)y_3 + u_3 \\
m &= \frac{1}{C}(\dot{x}_2 - (28 - 35\alpha)y_1 - (29\alpha - 1)y_2 + y_1 y_3),
\end{aligned} \tag{4.2}$$

onde  $m$  é a mensagem,  $C$  é uma constante que tem o objetivo de diminuir a amplitude da mensagem em relação ao sinal caótico transmitido  $\dot{x}_2$ .

Na primeira etapa, os sistemas transmissor e receptor são sincronizados na forma mestre/escravo, onde o sistema receptor é controlado e sua trajetória é levada à do sistema transmissor, de forma que o erro entre as trajetórias é levado a zero, ou seja,  $\|e\| = 0$ . Nesta etapa,  $m = 0$ .

Na segunda etapa, inicia-se em (4.1) o processo de encriptação e transmissão do sinal  $\dot{x}_2$ , que é recebido e decriptado na quarta equação de (4.2). Nesta etapa,  $\|e\| = 0$  e, como consequência,  $\|u\| = 0$ .

No contexto da criptografia, o parâmetro  $\alpha$  é a chave do sistema criptográfico. Dessa forma, o espaço da chave é o intervalo  $[0, 1]$ .

As simulações apresentadas contemplam a encriptação de uma imagem e um parágrafo de texto. Para a encriptação da imagem, as linhas da matriz de intensidade de brilho dos pixels que compõe a imagem são concatenadas e a matriz é transformada em um vetor; cada pixel é representado por um número inteiro que pertence ao intervalo  $[0, 255]$ . No caso do texto, os caracteres são convertidos em código ASCII, e passam a ser um número inteiro no intervalo  $[0, 127]$ . Assim o vetor  $m$  da mensagem é formado e, a seguir, cada elemento de  $m$  é adicionado à segunda equação do sistema transmissor em um passo de integração. Nas simulações, os sistemas são integrados através do método de Runge-Kutta de 4ª ordem, com passo de integração  $p = 10^{-2}$  e  $C = 10^{-6}$ . Apresentamos o resultado da aplicação do algoritmo à notória "foto de Lenna" e a um parágrafo de texto nas figuras a 6 e 7.

## 5. Conclusões

Através da aplicação do controle ótimo linear feedback, obtivemos a sincronização do sistema caótico unificado através de controle escalar e vetorial. Em ambos os casos a sincronização ocorreu de maneira rápida e eficiente. As simulações numéricas do processo de encriptação revelaram que, tanto a imagem quanto o texto encriptados tornaram-se ininteligíveis após o processo, sendo recuperados com absoluta perfeição no receptor. Em trabalhos futuros pretendemos aumentar o nível de segurança do algoritmo através da utilização de parâmetro  $\alpha$  variável.

**Abstract.** This paper studies the synchronization of the unified chaotic system via optimal linear feedback control and presents a secure communication scheme based on chaos synchronization.

**Keywords.** Synchronization, optimal control, chaos, secure communication.



## Referências

- [1] G. Alvarez, S. Li, Breaking network security based on synchronized chaos, *Computer Communications*, **17**, 1749-1756.
- [2] G. Alvarez, F. Montoya, G. Pastor, M. Romera, Cryptanalyzing an improved security modulated chaotic encryption scheme using cyphertext absolute value, *Chaos, Solitons and Fractals* **23**, 1679-1681.
- [3] J.M.V. Grzybowski, M. Rafikov, Synchronization of a unified chaotic system via optimal linear feedback control, in "Proceedings of the XI Brazilian Conference on Dynamics, Control and Their Applications", 2007.
- [4] A.M. Harb, W.M. Ahmad, Chaotic systems synchronization in secure communication systems, in "Proceedings of the 2006 International Conference on Communication in Computing", CIC 2006, Las Vegas, Nevada, USA, June 26-29.
- [5] G.P. Jiang, G. Chen, W.K.S. Tang, A new criterion for chaos synchronization using linear state feedback control, *International Journal of Bifurcation and Chaos*, **13** (2003).
- [6] J. Lu, X. Wu, J. Lu, Synchronization of a unified chaotic system and application in secure communication, *Physics Letters A*, **305** (2002), 365-370.
- [7] M. Rafikov, J.M. Balthazar, On control and synchronization in chaotic and hyperchaotic systems via linear feedback control, *Communications in Nonlinear Sciences and Numerical Simulation*, (2007), doi:10.1016/j.cnsns.2006.12.011.
- [8] M. Sobhy, A. Shehata, Chaotic algorithms for data encryption, *IEEE International Conference on Acoustics, Speech and Signal Processing*, Proceedings (Cat. No.01CH37221). IEEE. Part vol.2, pp.997-1000.